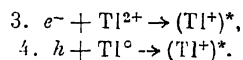


где Tl^0 и Tl^{2+} — ионы активатора, захватившие электрон или дырку.

«Безынерционная» стадия нарастания обусловлена процессами с участием нерелаксированных носителей заряда



Принимая во внимание малое время автолокализации дырок $\tau_a = 1-10$ пс [4], можно предположить, что основной вклад в «безынерционную» стадию вносит процесс 3. В этом случае величина τ_1 характеризует время жизни электрона в зоне до рекомбинации или захвата Tl^+ -центром. Поскольку значительная часть электронов образует Tl^0 -центры (стадии τ_2 и τ_3), время жизни электронов контролируется именно процессом захвата на активатор. Учитывая, что для времени жизни электрона можно записать

$$1/\tau_1 = \sigma N v,$$

где σ — сечение захвата электрона Tl^+ , N — концентрация Tl^+ , v — тепловая скорость электрона, то при $\tau_1 < 50$ пс, $N = 2 \cdot 10^{18}$ см $^{-3}$, $v = 10^7$ см/с получаем нижнюю оценку $\sigma > 10^{-15}$ см 2 . Точная оценка σ может быть получена при меньших концентрациях активатора в кристалле.

Таким образом, при 300 К около 60 % светосуммы сцинтилляционной вспышки NaI-Tl обусловлено термически активированными процессами 1 и 2, а 40% — быстрой передачей энергии с участием нерелаксированных электронов и дырок.

Список литературы

- [1] Лущик Ч. Б., Соовик Т. А. // Тр. ИФ АН ЭССР. 1966. № 34. С. 68—88.
- [2] Алукер Э. Д., Гаврилов В. В., Дейч Р. Г., Чернов С. А. Быстро протекающие радиационно-стимулированные процессы в щелочно-галоидных кристаллах. Рига, 1987. 183 с.
- [3] Алукер Э. Д., Гаврилов В. В., Дейч Р. Г., Чернов С. А. // ФТТ. 1984. Т. 26. № 6. С. 1879—1981.
- [4] Suzuki Y., Hirai M. // Semiconductors and Insulators. 1983. V. 5. N 3—4. P. 445—455.

Институт физики АН ЛатвССР
Саласпилс

Поступило в Редакцию
21 декабря 1988 г.

УДК 536.631 : 536.424

Физика твердого тела, том 31, в. 5, 1989
Solid State Physics, vol. 31, № 5, 1989

ТЕПЛОЕМКОСТЬ КРИСТАЛЛА RbAlF₄

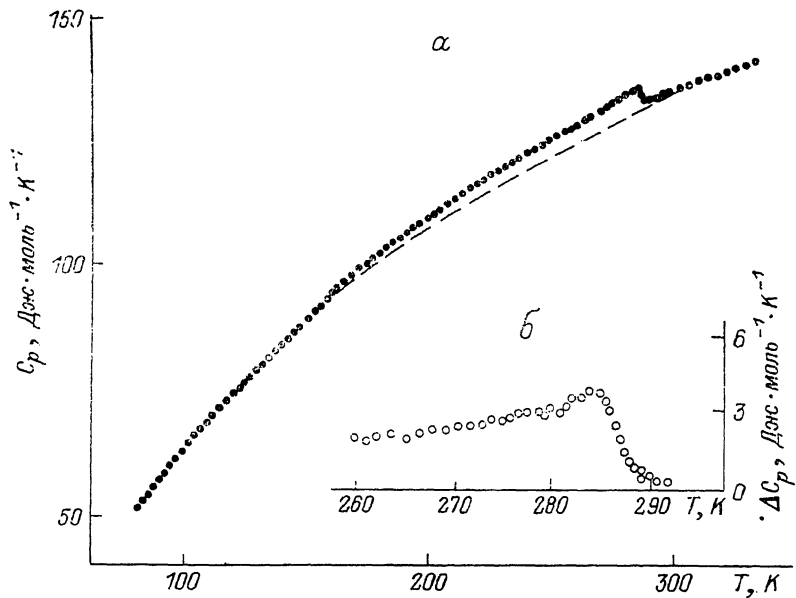
B. H. Воронов, M. B. Горев, L. A. Ком, И. Н. Флёрэв

Среди слоистых перовскитоподобных кристаллов со структурой TlAlF₄, наиболее подробно изученным является RbAlF₄, претерпевающий последовательность фазовых переходов (ФП) $G_0 \rightarrow G_1 \rightarrow G_2$ соответственно при $T_1 = 553$ и $T_2 = 282$ К [1]. Искажения исходной тетрагональной структуры (пространственная группа D_{4h}^1) при ФП связаны в основном с разворотами октаэдров AlF₆. В фазе $G_1 - D_{4h}^5$ октаэдры повернуты вокруг тетрагональной оси исходной фазы, что в терминах [2] соответствует символу $(OO\Theta)$. В ромбической фазе $G_2 - D_{3h}^{13}$ добавляются повороты октаэдров вокруг осей a и b , лежащих в плоскости слоя ($\Psi_1\Psi_2\Theta$). В [3] было обнаружено, что ФП в RbAlF₄ сопровождаются конденсацией мягких мод M_3 (T_1) и X_3^1 (T_2) и, таким образом, являются превращениями типа смещения. Температурные зависимости частоты мягкой моды X_3^1 и дву-

преломления при ФП $G_1 \rightarrow G_2$ описываются в рамках термодинамической теории Ландау [3, 4]. Сведения о теплофизических свойствах RbAlF₄ отсутствовали. В связи с этим представляют интерес измерение теплоемкости и определение изменения энтропии.

Кристалл был выращен методом Бриджмена в платиновой ампуле. Образец цилиндрической формы массой 4.62 г, вырезанный из були, перед измерениями отжигался в течение 80 ч при температуре 420 К в соответствии с рекомендациями [4], где было обнаружено влияние предыстории образца на его свойства.

Тепловой эффект при ФП $G_0 \rightarrow G_1$, исследованном методом ДТА, оказался незначительным, что не позволило сделать даже оценок изменения энтропии ΔS_1 .



Температурная зависимость теплоемкости RbAlF₄ в широком интервале температур (a) и вблизи ФП $G_1 \rightarrow G_2$ (б).

Калориметрические исследования в интервале 80—330 К выполнены на адиабатическом калориметре в автоматизированном режиме монотонного нагрева [5]. В результате измерений (см. рисунок, a) обнаружена аномалия теплоемкости с максимумом при $T_2 = 287$ К. Эта температура несколько выше, чем T_2 в [1], где отмечался разброс этой величины для разных образцов. Решеточная теплоемкость RbAlF₄ выделялась графической интерполяцией $C_p(T)$ из областей, удаленных от T_2 . В ромбической фазе G_2 избыточная теплоемкость присутствует в широком интервале температур $T_2 - 170$ К. Пик теплоемкости (см. рисунок, б) невелик и составляет лишь $\sim 3\%$ от решеточной теплоемкости. Эти особенности коррелируют как с данными [1, 4], где величины двупреломления и углов поворотов октаэдров достигают насыщения значительно ниже T_2 , так и с поведением теплоемкости исследованного нами недавно CsScF₄ [6].

Изменение энтропии при ФП $G_1 \rightarrow G_2$, определенное как $\Delta S_2 = \int (\Delta C_p / T) dT$, составило 0.83 Дж/моль·К или $\sim 0.1R$, что характерно для ФП типа смешения. В таблице приведены сведения об искажениях структуры и изменениях энтропии при ФП в некоторых кристаллах семейства TiAlF₄. Величина ΔS остается небольшой при простых поворотах октаэдров ($G_0 \rightarrow G_1$) во всех объектах. ФП в ромбическую фазу сопровождается суперпозицией поворотов вокруг осей, лежащих в плоскости слоя, и вокруг тетрагональной оси. В этом случае величина ΔS_2 также харак-

Типы поворотов октаэдров (П) и изменения энтропии ($\Delta S/R$)
при ФП в кристаллах семейства $TlAlF_4$

Кристалл	$G_0 \longrightarrow G_1 \longrightarrow G_2$					Источник
$RbAlF_4$	Π $\Delta S/R$	(000)	(00θ)	0.4	$(\Psi_1\Psi_2\Theta)$	—
$CsScF_4$	Π $\Delta S/R$	(000) 0.16	(00θ) 0.21		$(\Psi_1\Psi_2\Theta)$	[8]
$TlAlF_4$	Π $\Delta S/R$	(000) 0.02	(00θ) (φφO)		$(\varphi\varphi\Theta)$ $(\varphi\varphi\Theta)$	[9]
$/(CH_2)_5(NH_3)_2/CdCl_4$	Π $\Delta S/R$	(000) 0.21	(φφO) (φφO)	1.12	$(\varphi\varphi\Theta)$ $(\varphi\varphi\Theta)$	[10]

терна для превращений типа смещения в кристаллах с атомарным катионом. В кристалле с молекулярным катионом ΔS_2 существенно больше. Последнее обстоятельство связано, по-видимому, со значительным вкладом в энтропию от упорядочения молекулярных групп при понижении симметрии кристаллической решетки. Такое явление наблюдалось и в других родственных структурах, например в перовскитах [7]. ФП из кубической фазы в тетрагональную в кристалле NH_4ZnF_3 сопровождается изменением энтропии, во много раз превышающим ΔS в кристаллах с атомарным катионом [8].

Список литературы

- [1] Bulov A., Nouet J. // J. Phys. C: Sol. St. Phys. 1982. V. 15. N 2. P. 183—196.
- [2] Александров К. С. // Кристаллография. 1987. Т. 32. № 3. С. 661—672.
- [3] Bulou A. // These Doctorat d'Etat, 1985. Universite Paris VI. P. 277.
- [4] Kleemann W., Schäfer F. S., Noyet Y. // J. Phys. C: Sol. St. Phys. 1982. V. 15. N 2. P. 197—208.
- [5] Горев М. В., Гекк П. И., Искорнев И. М., Кот Л. А., Гоняев В. С., Флёрков И. Н., Черепанов В. А. // Измерит. техника. 1988. № 8. С. 33—34.
- [6] Александров К. С., Воронов В. Н., Круглик А. И., Мельникова С. В., Флёрков И. Н. // ФТТ. 1988. Т. 30. № 11. С. 3325—3328.
- [7] Bartolome J., Navarro R., Gonzalez D., Jough L. J. // Physica. 1977. V. 92B. P. 24—44.
- [8] Александров К. С., Флёрков И. Н. // ФТТ. 1979. Т. 21. № 2. С. 327—336.
- [9] Bulou A., Nouet Y. // J. Phys. C: Sol. St. Phys. 1987. V. 20. P. 2885—2900.
- [10] Fouskova A. // Ferroelectrics. 1980. V. 25. N 1/4. P. 451—452.

Институт физики
им. Л. В. Киренского СО АН СССР
Красноярск

Поступило в Редакцию
27 декабря 1988 г.

УДК 537—312

Физика твердого тела, том 31, в. 5, 1989
Solid State Physics, vol. 31, № 5, 1989

ТОКОПЕРЕНОС В ПОЛИКРИСТАЛЛИЧЕСКИХ ПЛЕНКАХ $Y-Ba-Cu-O$

Ю. А. Астров, В. С. Вайнер

Известно, что при измерениях критических токов I_c поликристаллических высокотемпературных сверхпроводников (ВТСП) $Y-Ba-Cu-O$, изготовленных по керамической или пленочной технологии, значения транспортных токов I_c оказываются существенно ниже значений, опре-